

过敏性紫癜患儿外周血 VDBP VDR 表达水平与 Th17/Treg 相关性研究

陈岑 黄娜 周玉超 凌艳萍

[摘要] 目的 探讨维生素D结合蛋白(VDBP)、维生素D受体(VDR)在过敏性紫癜(HSP)患儿外周血中的水平变化及与Th17/Treg平衡的关系。方法 选取2019年12月至2020年12月南京医科大学附属儿童医院就诊并确诊的55例HSP患儿为HSP组，并以同期50例健康体检儿童为对照组。采用定量反转录-聚合酶链反应(qRT-PCR)法检测外周血中VDR mRNA水平，酶联免疫法检测VDBP水平，蛋白印迹法检测VDR蛋白的表达；流式细胞术检测Th17和Treg细胞比例；Pearson法分析VDBP与VDR表达的相关性以及二者与Th17/Treg的相关性；受试者工作特征曲线(ROC)评价血清VDBP和VDR水平对HSP发生的诊断价值。结果 与对照组比较，HSP组患儿外周血中VDBP表达水平明显下调，VDR表达水平上调，差异均有统计学意义($P < 0.05$)；HSP组患儿Th17、Th17/Treg均高于对照组，Treg均低于对照组($P < 0.05$)；VDBP与Treg呈正相关($r = 0.358, P < 0.05$)，与Th17、Th17/Treg呈负相关($r = -0.436, -0.606, P < 0.05$)；而VDR与Th17、Th17/Treg均呈正相关($r = 0.433, 0.696, P < 0.05$)，与Treg呈负相关($r = -0.385, P < 0.05$)；HSP患儿外周血中VDBP和VDR的呈负相关($r = -0.316, P < 0.05$)；ROC结果显示，VDR、VDBP水平预测过敏性紫癜患儿的曲线下面积(AUC)分别为0.732、0.933，对应的敏感度分别为67.27%、94.55%，特异度分别为80.00%、78.00%，二者联合预测过敏性紫癜患儿的AUC为0.946，敏感度为85.45%，特异度为90.00%。结论 VDBP在HSP患儿外周血中明显低表达，VDR明显高表达，二者表达与Th17/Treg密切相关，联合检测VDR、VDBP有助于诊断HSP的发生。

[关键词] 过敏性紫癜；维生素D结合蛋白；维生素D受体；Th17/Treg

doi:10.3969/j.issn.1000-0399.2023.01.015

Correlation between expression levels of VDBP and VDR in peripheral blood and Th17/Treg in children with Henoch Schonlein purpura

CHEN Cen, HUANG Na, ZHOU Yuchao, LING Yanping

Department of Rheumatology and Immunology, Children's Hospital of Nanjing Medical University, Nanjing 210008, China

Corresponding author: LING Yanping, cc198010@126.com

[Abstract] **Objective** To explore the changes in the levels of vitamin D binding protein (VDBP) and vitamin D receptor (VDR) in the peripheral blood of children with Henoch – Schonlein purpura (HSP) and their relationship with the balance of Th17/Treg. **Methods** A total of 55 children diagnosed with HSP in Children's Hospital Affiliated to Nanjing Medical University from December 2019 to December 2020 were selected as the HSP group, and 50 healthy children in the same period were selected as the control group. Quantitative reverse transcription – polymerase chain reaction (QRT – PCR) was used to detect the level of VDR mRNA in peripheral blood, and enzyme – linked immunoassay was used to detect the level of VDBP. Western blotting was applied to detect the expression of VDR protein. Flow cytometry was used to detect the ratios of Th17 and Treg cells. Pearson method was used to analyze the correlation between VDBP and VDR expression and the correlation between the two and Th17/Treg. Receiver operating characteristic curve (ROC) was used to evaluate the diagnostic value of serum VDBP and VDR levels for the occurrence of HSP. **Results** Compared with the control group, the expression level of VDBP in the peripheral blood of children in the HSP group was significantly down – regulated, the expression level of VDR was up – regulated, and the difference was statistically significant ($P < 0.05$). Th17 and Th17/Treg of children in HSP group were higher than those in control group, and Treg was lower than that in control group. VDBP was positively correlated with Treg ($r = 0.358, P < 0.05$), and negatively correlated with Th17 and Th17/Treg ($r = -0.436, -0.606, P < 0.05$). VDR was positively correlated with Th17 and Th17/Treg ($r = 0.433, 0.696, P < 0.05$), and negatively correlated with Treg ($r = -0.385, P < 0.05$). There was a significant negative correlation between VDBP and VDR in peripheral blood of children with HSP ($r = -0.316, P < 0.05$). ROC results showed that the area under the curve (AUC) of VDR and VDBP levels predicting children with Henoch – Schonlein purpura was 0.732 and 0.933, respectively, and the corresponding sensitivity was 67.27% and 94.55%, and the specificity was 80.00% and 78.00%, respectively. The AUC of the combination of the two predicting children with Henoch – Schonlein purpura was 0.946, the sensitivity was 85.45%, and the specificity was 90.00%. **Conclusions** VDBP expression is signifi-

cantly low in peripheral blood of children with HSP, and VDR expression is significantly high, which is closely related to Th17/Treg. The combined detection of VDR and VDBP contributes to the diagnosis of the occurrence of HSP, which has important clinical value.

[Key words] Henoch – Schonlein purpura; Vitamin D binding protein; Vitamin D receptor; Th17/Treg

过敏性紫癜(Henoch – Schonlein purpura, HSP)是一种主要累及全身小血管的过敏性疾病,与自身免疫有关^[1]。该病多发于儿童,临床表现为皮肤紫癜,伴有蛋白尿、腹痛、血尿等^[2-3],可在约四周内自行消退。但如果不能及时治疗,可能出现更严重的疾病,如持续性紫癜或关节炎,肠道受累导致内陷或大出血,以及进行性肾损伤^[4]。因此对HSP进行早期诊断、加强防治,对临床工作具有重要意义。维生素D是一种类固醇激素,主要生理作用是维持钙稳态^[5]。研究^[6]报道,维生素D与过敏性疾病关系紧密。维生素D受体(Vitamin D receptor, VDR)属于核受体超家族,可以与维生素D的活性形式1,25-二羟基维生素D₃[1,25(OH)₂D₃]结合,发挥生物效应^[7]。据报道VDR水平与系统性红斑狼疮、类风湿关节炎、I型糖尿病等自身免疫性疾病有密切关系^[8]。维生素D结合蛋白(vitamin D binding protein, VDBP)在代谢和生物途径中发挥不同作用^[9],但二者在HSP患儿中的作用尚不清楚。Th17是一种新的促炎T辅助细胞,Treg细胞是T细胞的一个亚群,可以释放抗炎细胞因子IL-10和转化生长因子TGF-β1,发挥其抗炎特性。研究^[10]表明Th17/Treg失衡与HSP的发病密切相关。本研究拟通过检测VDBP、VDR在HSP患儿外周血中的水平,并探讨与Th17/Treg平衡的关系。现报道如下。

1 资料与方法

1.1 一般资料 选取2019年12月至2020年12月南京医科大学附属儿童医院收治的55例HSP的患儿为研究对象,其中男性23例,女性32例,年龄5~11岁,平均年龄(7.54±2.50)岁。选取50例同期来本院体检的健康儿童为对照组,其中男性30例,女性20例,年龄4~11岁,平均年龄(7.64±2.70)岁。纳入标

准:①HSP诊断参考诸福棠主编第8版《实用儿科学》^[11];②首次发病;③对照组均为体检结果健康的儿童;④年龄≤12岁。排除标准:①合并有凝血功能障碍、自身免疫疾病;②入院前进行激素、免疫抑制剂药物治疗;③有未知过敏原过敏性疾病史;④患有影响营养状况如内分泌疾病、遗传代谢病、性肝肾疾病及内分泌疾病等;⑤家属或患儿不能配合研究。本研究经我院道德伦理委员会批准通过(伦理批号:2019-0937),样品采集取得所有受试者家长知情同意并签字,符合《世界医学协会赫尔辛基宣言》。

1.2 方法

1.2.1 标本采集 患者于入院次日,健康人群于体检当日采集空腹静脉血5mL,室温静置10min,一部分在3000r/min条件下离心处理10min,静置后取上层血清于-80℃保存。一部分采用Ficoll淋巴细胞分离液分离得到外周血单个核细胞,后进行流式细胞术检测。

1.2.2 酶联免疫法(enzyme linked immunosorbent assay, ELISA)检测外周血中VDBP表达水平 采用ELISA检测外周血中VDBP的表达水平,操作步骤严格按照试剂盒说明进行。人VDBP ELISA试剂盒(货号:PK-EL-K2314,江苏普诺生生物科技有限公司)。

1.2.3 定量反转录-聚合酶链反应(quantitative reverse transcription-polymerase chain reaction, qRT-PCR)法检测外周血中VDR mRNA水平 采用qRT-PCR法检测外周血中VDR mRNA水平。采取Tizol试剂提取总RNA,并进行逆转录,获得cDNA,扩增后进行qRT-PCR反应。反应条件:95℃下预变性60s,95℃变性30s,62℃退火10s,72℃延伸30s共40个循环。采用2^{-ΔΔCT}法计算血清VDR mRNA的相对表达量。VDR及内参GAPDH的引物序列见表1。

表1 qRT-PCR引物序列

基因名称	正向引物5'-3'	反向引物5'-3'
VDR	GCCCACCATAAGACCTACGA	AGATTGGAGAAGCTGGACCA
GAPDH	CTTCGGCAGCACATATACTAAAT	CAGGGGCCATGCTAAATCTC

注:VDR为维生素D受体;GAPDH为甘油醛-3-磷酸脱氢酶。

1.2.4 蛋白印迹法检测 采用RIPA缓冲液裂解单个核细胞并分离得到总蛋白,然后用10%琼脂凝胶电泳分离裂解物。将分离的蛋白转移到PVDF膜,然后

在5%脱脂牛奶中封闭1h。随后,滴加一抗孵育一夜,然后用二抗孵育1h。采用化学底物发光液进行曝光显影。采用Image J软件处理印迹条带的图像。

VDR 相对表达水平以目的条带和内参条带 GAPDH 比值表示。

1.2.5 外周血中 Th17/Treg 检测 Th17 细胞检测: 取外周血单个核细胞悬液, 加入佛波酯、离子霉素、伊屋诺霉素混合均匀, 在 CO₂ 培养箱中于 37℃ 培养 5 h, PBS 清洗后加入相应抗体, Th17 细胞加入抗人 IL-17 单抗, 室温避光孵育 30 min, PBS 洗涤后上流式细胞仪检测, 后用 BD cell Quest 软件对数据进行分析。以 CD3⁺ CD8⁺ 细胞设门, Th17 水平以 CD3⁺ CD8⁺ IL-17⁺ T 细胞占 CD3⁺ T 细胞的比例为标准。Treg 细胞检测: 取新鲜抗凝血样 100 μL, 加入 Tregcocktail 试剂 20 μL, 在室温下避光孵育, 裂解红细胞, PBS 洗涤, 立即采用流式细胞仪检测, Treg 水平以 CD4⁺、CD25⁺、FOXP3⁺ 细胞占 CD3⁺ T 细胞的比例为标准。

1.3 统计学方法 利用 SPSS 22.0 进行统计学分析, 计数资料采用百分比表示, 组间比较采用 χ^2 检验; 计量资料符合正态分布的以 $\bar{x} \pm s$ 表示, 两组间比较行 *t* 检验; Pearson 法分析 VDBP 与 VDR 表达的相关性以及二者与 Th17/Treg 的相关性; 利用受试者工作特征曲线 (receiver operating characteristic curve, ROC) 评价 VDBP 和 VDR 对 HSP 的诊断价值。 $P < 0.05$ 为差异具有统计学意义。

2 结果

2.1 两组研究对象一般资料及 Th17、Treg 细胞水平比较 两组间性别、年龄比较, 差异均无统计学意义 ($P > 0.05$)。与对照组相比, HSP 组患儿外周血中 Th17、Th17/Treg 均升高, Treg 水平降低 ($P < 0.05$)。见表 2、图 1。

2.2 两组研究对象外周血中 VDBP 和 VDR mRNA 水平比较 HSP 组 VDBP 表达水平低于对照组, 差异有统计学意义 ($P < 0.05$)。HSP 组 VDR mRNA 水平高于对照组 ($P < 0.05$)。见表 3。

表 2 两组研究对象一般资料及 Th17、Treg 细胞水平比较 ($\bar{x} \pm s$, 例)

指标	HSP 组 (n=55)	对照组 (n=50)	<i>t</i> / χ^2 值	P 值
性别(男/女, 例)	23/32	30/20	0.133	0.715
年龄(岁)	7.54 ± 2.50	7.64 ± 2.70	0.197	0.844
Treg(%)	4.52 ± 1.28	7.83 ± 1.91	10.517	<0.001
Th17(%)	2.65 ± 0.66	1.39 ± 0.31	12.317	<0.001
Th17/Treg	0.60 ± 0.11	0.17 ± 0.05	25.355	<0.001

注: Treg 为调节性 T 细胞, Th17 为辅助性 T 细胞。

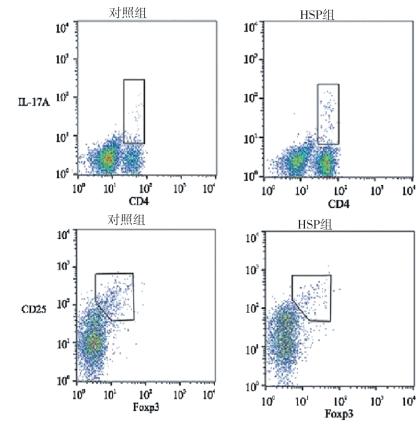


图 1 各组外周血 Th17/Treg 流式细胞检测图

表 3 两组研究对象外周血中 VDBP、VDR mRNA 表达水平比较 ($\bar{x} \pm s$)

组别	例数	VDR mRNA	VDBP (μg/mL)
HSP 组	55	1.23 ± 0.38	487.46 ± 142.12
对照组	50	0.91 ± 0.21	853.65 ± 258.98
<i>t</i> 值		5.267	9.091
<i>P</i> 值		<0.001	<0.001

注: HSP 为过敏性紫癜, VDR 为维生素 D 受体, VDBP 为维生素 D 结合蛋白。

2.3 两组研究对象外周血中 VDR 蛋白表达情况 HSP 组 VDR 蛋白水平 (1.05 ± 0.33) 高于对照组 (0.84 ± 0.17), 差异有统计学意义 (*t* = 4.038, *P* < 0.05)。见图 2。

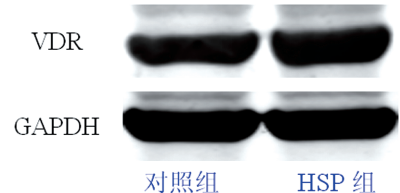


图 2 蛋白免疫印迹法检测 VDR 蛋白的表达

2.4 VDBP 和 VDR 表达与免疫功能指标的相关性分析 对 VDBP 和 VDR 分别与 Th17、Th17/Treg、Treg 进行相关性分析, 结果表明外周血 VDR 与 Th17、Th17/Treg 均呈正相关 ($P < 0.05$), 与 Treg 呈负相关 ($P < 0.05$); 而 VDBP 与 Treg 呈正相关 ($P < 0.05$), 与 Th17、Th17/Treg 均呈负相关 ($P < 0.05$)。见表 4。

表 4 HSP 组 VDBP 和 VDR 表达水平与免疫功能指标的相关性

参数	VDBP		VDR	
	r 值	P 值	r 值	P 值
Th17	-0.436	<0.001	0.433	0.001
Treg	0.358	0.007	-0.385	0.004
Th17/Treg	-0.606	<0.001	0.696	<0.001

注: VDR 为维生素 D 受体, VDBP 为维生素 D 结合蛋白, Treg 为调节性 T 细胞, Th17 为辅助性 T 细胞。

2.5 HSP患儿外周血中VDBP、VDR表达的相关性 Pearson法分析结果显示,HSP患儿外周血中VDBP与VDR表达呈负相关,差异有统计学意义($r = -0.316$, $P < 0.05$)。见图3。

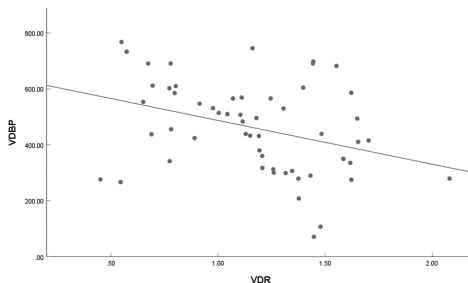


图3 HSP患儿外周血中VDBP与VDR表达的相关性

2.6 VDBP、VDR对HSP患儿的诊断价值 以外周血VDR、VDBP作为检验变量,是否发生HSP作为状态变量进行ROC曲线分析,结果显示,外周血VDR、VDBP水平预测HSP患儿的AUC分别为0.732(95%CI:0.636~0.813)、0.933(95%CI:0.867~0.972),对应的敏感度分别为67.27%、94.55%,特异度分别为80.00%、78.00%,外周血VDR mRNA、VDBP水平联合预测HSP患儿的AUC为0.946(95%CI:0.884~0.981),灵敏度为85.45%,特异度为90.00%。见图4、表5。

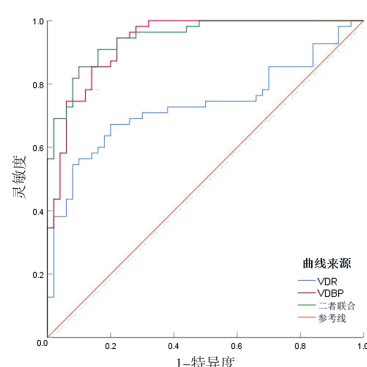


图4 外周血VDBP、VDR水平诊断HSP患儿的ROC曲线

表5 外周血VDBP、VDR水平对HSP患儿的诊断价值

项目	截断值	AUC	灵敏度(%)	特异度(%)	95% CI
VDR	1.03	0.732	67.27	80.00	0.636~0.813
VDBP	732.69 μg/mL	0.933	94.55	78.00	0.867~0.972
联合诊断	-	0.946	85.45	90.00	0.884~0.981

注:VDR为维生素D受体,VDBP为维生素D结合蛋白,AUC为曲线下面积。

3 讨论

HSP是一种IgA介导的小血管白细胞碎裂性血管炎,主要影响皮肤、关节、胃肠道和肾脏^[12]。目前,HSP发生的分子机制尚不完全清楚^[13]。此外,由于HSP早期症状不明显,容易出现漏诊及误诊等情况,若不能对HSP进行及时诊断,严重时可能导致患儿肾功

能衰竭,对患儿的生命安全造成严重威胁。Th17细胞和Treg细胞是两种重要的免疫细胞类型,有研究^[14]表明,Th17/Treg的失衡与HSP患儿病情的发生发展有关。因此,本研究通过观察VDR、VDBP在HSP患儿中的表达,分析其与Th17/Treg平衡的关系,探讨其与HSP发病及Th17/Treg失衡的相关性。

近年来有研究^[15]报道,维生素D除了可以调节细胞功能,还可以调节机体免疫系统,与过敏性紫癜疾病的病理发展过程有密切关系。VDR是一种核转录因子,在骨、肠、肾脏及甲状腺等多种组织和细胞中表达,可调节约500个基因的表达^[16]。维生素D的生物效应主要由VDR介导,因此推测VDR与过敏性紫癜疾病也有一定关系。本研究发现HSP患儿外周血中VDR mRNA及蛋白水平均升高,表明VDR可能参与HSP疾病的发生。HSP组患儿Th17、Th17/Treg表达均高于对照组,Treg表达均低于对照组,提示Th17/Treg失衡可能在HSP的发生发展中发挥作用。VDR与Th17、Th17/Treg均呈正相关,与Treg呈负相关,提示VDR可能通过影响Th17/Treg平衡,进而影响HSP疾病的发生及发展。ROC结果显示VDR水平预测HSP的AUC为0.732,灵敏度为67.27%,特异度为80.00%,表明VDR可在一定程度下预测HSP疾病的发生,有可能作为诊断HSP的血清学标志物。

血浆中维生素D的主要转运蛋白是VDBP,其分子量为58 kDa。血液中活性维生素D的含量在很大程度上取决于VDBP浓度^[17]。VDBP在维持血清活性维生素D水平方面发挥的重要作用,对各种组织的功能至关重要^[18],除了在维生素D代谢中的作用外,VDBP还参与各种免疫活动,如单核细胞反应和巨噬细胞的激活^[19]。VDBP在健康人群中相对稳定,但不同的生理和病理条件,如遗传因素、特定药物(替诺福韦、阿司匹林)、吸烟、激素因素、肥胖和胰岛素抵抗、终末期肝病和肾病综合征等,都会影响VDBP水平^[20]。本研究中HSP患儿外周血中VDBP表达水平明显低于对照组,与Th17、Th17/Treg呈负相关,与Treg呈正相关,提示VDBP也可影响Th17/Treg的平衡,进而参与HSP的发生发展;研究进一步发现,外周血中VDBP与VDR表达水平呈明显负相关,提示二者可能共同参与HSP的发生,其具体作用机制有待进一步研究分析。ROC结果显示,VDBP水平预测HSP的曲线下面积AUC为0.933,对应的灵敏度为94.55%,特异度为78.00%,VDR、VDBP二者联合预测HSP病患儿的AUC为0.946,灵敏度为85.45%,特异度为

90.00%，提示二者可作为诊断HSP患儿的血清标志物，且二者联合检测效能高于单一指标检测。

综上所述，VDBP在HSP患儿外周血中低表达，VDR呈高表达，二者呈显著负相关，VDBP水平与Th17/Treg呈负相关，VDR与Th17/Treg呈正相关，提示VDBP、VDR通过影响Th17/Treg平衡共同参与了HSP的发生，二者还可作为早期诊断HSP的血清学指标，具有重要的临床意义。

参考文献

- [1] WANG J, ZHENG Y, CHEN G, et al. The changes in pyroptosis-related inflammatory factors in the peripheral blood of patients with Henoch-Schonlein purpura [J]. Ann Palliat Med, 2021, 10(6):6687–6693.
- [2] 沈阳,边兴艳,李季,等.过敏性紫癜患儿免疫球蛋白及T淋巴细胞亚群水平与疾病严重程度的相关性分析[J].当代医学,2021,27(33):148–150.
- [3] PUREVDORJ N, MU Y, GU Y, et al. Clinical significance of the serum biomarker index detection in children with Henoch-Schonlein purpura [J]. Clin Biochem, 2018, 52(1):167–170.
- [4] DUNDAR H A, PEKTANC M, BAYRAM M T, et al. Obesity is associated with severe clinical course in children with Henoch-Schonlein purpura [J]. Pediatr Nephrol, 2020, 35(12):2327–2333.
- [5] VOUTSADAKIS I A. Vitamin D receptor (VDR) and metabolizing enzymes CYP27B1 and CYP24A1 in breast cancer [J]. Mol Biol Rep, 2020, 47(12):9821–9830.
- [6] 谭琼,田鹏,尚彪.维生素D联合西咪替丁对过敏性紫癜患儿外周血单核细胞Toll样受体2、T细胞亚群、NK细胞的调节作用分析[J].中国医学前沿杂志(电子版),2019,11(11):50–53.
- [7] XU Y, LOU Y, KONG J. VDR regulates energy metabolism by modulating remodeling in adipose tissue [J]. Eur J Pharmacol, 2019, 865(1):172761.
- [8] 张楠,时鹏,年娣.维生素D在自身免疫性疾病中的研究进展[J].检验医学与临床,2021,18(21):3197–3200.
- [9] PENG J, ZHAN Y L, LIU Y J, et al. Plasma VDBP, 25(OH)D, and GSH levels predict surgical outcome in patients with cervical spondylotic myelopathy [J]. Kaohsiung J Med Sci, 2019, 35(2):102–110.
- [10] LI B, REN Q, LING J, et al. The change of Th17/Treg cells and IL-10/IL-17 in Chinese children with Henoch-Schonlein purpura: a PRISMA-compliant meta-analysis [J]. Medicine (Baltimore), 2019, 98(3):e13991.
- [11] 江载芳,申昆玲,沈莹,等.诸福棠实用儿科学(第8版)[M].北京:人民卫生出版社,2015:47.
- [12] WANG J, YING Q, ZHONG S, et al. Elevated urinary monocyte chemoattractant protein-1 levels in children with Henoch-Schonlein purpura nephritis [J]. Pediatr Neonatol, 2018, 59(3):238–243.
- [13] CHEN T, FU L X, GUO, Z P, et al. Elevated serum interleukin-29 levels in patients with Henoch-Schnlein purpura [J]. Australas J Dermatol, 2019, 55(1):82–85.
- [14] 钱宇,李秋平,高凤,等.儿童过敏性紫癜合并肺炎支原体感染患儿外周静脉血Th17/Treg平衡性的检测及临床意义[J].中国小儿急救医学,2021,28(5):401–404.
- [15] 尹璇,杨任华.儿童血清维生素D水平与过敏性紫癜关系的Meta分析[J].中国妇幼保健,2020,35(22):4391–4397.
- [16] 董铮,李红涛.维生素D及维生素D受体在糖尿病肾病中的作用[J].透析与人工器官,2021,32(2):52–56.
- [17] KIANI A, MOHAMADI-NORI E, VAISI-RAYGANI A, et al. Vitamin D-binding protein and vitamin D receptor genotypes and 25-hydroxyvitamin D levels are associated with development of aortic and mitral valve calcification and coronary artery diseases [J]. Mol Biol Rep, 2019, 46(5):5225–5236.
- [18] FAWZY M S, ABU ALSEL B T. Assessment of vitamin D-binding protein and early prediction of nephropathy in type 2 saudi diabetic patients [J]. J Diabetes Res, 2018, 2018(2):8517929.
- [19] NAZEMISALMAN B, VAHABI S, SABOURI E, et al. Association of vitamin D binding protein and vitamin D receptor gene polymorphisms in Iranian patients with chronic periodontitis [J]. Odontology, 2019, 107(1):46–53.
- [20] SURVE S, BEGUM S, JOSHI B, et al. Significance of Vitamin D binding protein in assessing vitamin D status among under-five children [J]. Indian J Clin Biochem, 2021, 36(2):167–174.

(2022-02-03收稿)

(本文编校:崔月婷,张迪)